

|   |   |                 |   |          |
|---|---|-----------------|---|----------|
|  | <p align="center"> <b>Silesian University<br/>of Technology</b><br/> <b>Faculty of Automatic Control, Electronics<br/>and Computer Science</b><br/> <b>Department of Graphics, Computer Vision<br/>and Digital Systems</b> </p> |                 | <div style="display: flex; justify-content: space-around; align-items: center;">   </div> |          |
| Rok akademicki  | Rodzaj studiów*   | Przedmiot:      | Grupa   | Sekcja   |
| <b>2024/2025</b>  | <b>SSI</b>  | <b>JA proj.</b> | <b>-</b>  | <b>7</b> |
| Termin:<br>(dzień, godzina)   | wtorek, 8:00  | Prowadzący:     | <b>AO</b>   |          |
| Imię:<br>Nazwisko:<br>Email:  | Karol<br>Ziaja<br>kz306786@student.polsl.pl   |                 |   |          |
| <b><i>Raport końcowy</i></b>  |   |                 |   |          |
| Temat projektu:   |   |                 |   |          |
| <b>Filtr dolnoprzepustowy dla sygnałów dźwiękowych</b>                            |   |                 |   |          |

# 1. Opis

Celem projektu było stworzenie aplikacji, w której użytkownik będzie mógł nałożyć filtr na wskazany przez siebie plik dźwiękowy w formacie wav.

Filtr dolnoprzepustowy ma na celu wyłumić wysokie częstotliwości z sygnału akustycznego, przepuszczając jedynie częstotliwości niższe od zadanego progu.

Filtr został zaimplementowany za pomocą algorytmu FIR. Dla każdej próbki wyjściowej algorytm ten oblicza konwolucję z N ostatnich próbek wejściowych, mnożąc je przez odpowiednie współczynniki filtra.

Algorytm jest wykonywany w dwóch niezależnych bibliotekach DLL:

- C++
- ASM

Biblioteki mają identyczne zastosowanie, a zaimplementowane w nich procedury filtra zapewniają takie same dane wyjściowe. Po nałożeniu filtra w aplikacji wyświetlony zostaje wynik czasowy obrazujący czas wykonania algorytmu w wybranej przez użytkownika bibliotece DLL. Celem projektu jest pokazanie różnic w czasie wykonania algorytmów w każdej z bibliotek.

# 2. Założenia projektu

2.1. Projekt dotyczy architektury procesorów Intel X86/64

2.2. Projekt wykonywany jest w środowisku Visual Studio 2022

2.3. Założenie projektu w środowisku VS polega na utworzeniu powiązanych ze sobą projektów:

- Aplikacja interfejsu użytkownika napisana w języku wysokiego poziomu (C++ / C#). Musi zawierać graficzny interfejs pozwalający użytkownikowi na parametryzację aplikacji oraz wprowadzenie danych wejściowych.
- Biblioteki DLL wywoływanej dynamicznie z poziomu głównego programu i zawierającej funkcje realizujące algorytm w języku C++.
- Biblioteki DLL w języku assembler X64, o identycznym zastosowaniu.

2.4. Aplikacja interfejsu zawiera elementy:

- Opcję wyboru w której bibliotece należy wykonać algorytm.
- Wskaźnik czasu wykonania funkcji bibliotecznej.

2.5. Biblioteka w C++ jest uruchamiana w trybie Release, z włączoną optymalizacją.

2.6. Aplikacja musi wykorzystywać wielowątkowość, a użytkownik będzie mógł wybrać ilość wątków – od 1 do 64.

2.7. Procedura w języku assemblera musi wykorzystywać instrukcje wektorowe (SSE / AVX).

### 3. Opis kodu

#### 3.1. Wy tłumaczenie zasady działania algorytmu FIR.

- Algorytm operuje na liczbach zmiennoprzecinkowych. Aby uzyskać takie dane, należy przeprowadzić konwersję z pliku wav na tablicę floatów przed przekazaniem do procedury algorytmu. Jest to realizowane za pomocą metod klasy konwertującej w języku wysokiego poziomu (C#). Po wykonaniu algorytmu plik jest odtwarzany, tak aby ponownie uzyskać plik dźwiękowy.
- Funkcja realizująca algorytm przyjmuje 5 argumentów:
  - Wskaźnik do tablicy wejściowej.
  - Wskaźnik do tablicy wyjściowej.
  - Wskaźnik do tablicy współczynników.
  - Długość tablicy wejściowej (taka sama jak wyjściowej).
  - Długość tablicy współczynników.
- Dla każdej próbki wyjściowej algorytm wykonuje konwolucję z N próbek wejściowych. Wagami ( $b_i$ ) są współczynniki, generowane w języku wysokiego poziomu. Są one charakterystyczne dla implementowanego filtra, a ich ilość jest podawana przez użytkownika w interfejsie graficznym.

#### 3.2. Opis matematyczny

$$y[n] = \sum_{i=0}^N b_i \cdot x[n - i]$$

$$y[n] = b_0x[n] + b_1x[n - 1] + \dots + b_Nx[n - N]$$

#### 3.3. Kod biblioteki assemblerowej wraz z komentarzami:

```
1. .code
2.
3. ; Definicja procedury ProcessFIRFilter
4. ProcessFIRFilter proc
5.     push rbp                                ; Zachowanie wartości bazowego wskaźnika stosu
6.     mov rbp, rsp                            ; Ustawienie nowego bazowego wskaźnika stosu
7.     jmp _start                             ; Przejście do etykiety _start
8.
9. _start:
10.    ; Opis argumentów przekazywanych do procedury:
11.    ; rcx = wskaźnik do tablicy wejściowej (input array)
12.    ; rdx = wskaźnik do tablicy wyjściowej (output array)
13.    ; r8  = wskaźnik do tablicy współczynników (coefficients array)
14.    ; r9  = długość tablicy wyjściowej (outputLength)
15.    ; [rsp + 48] = długość tablicy współczynników (coefficientsLength)
16.    ; r10 = długość tablicy współczynników (przechowywana w r10 dla wydajności)
17.
18.    mov r10, [rsp + 48]                    ; Pobranie długości tablicy współczynników z stosu
19.
20.    mov rax, r10
21.    dec rax                                ; rax = coefficientsLength - 1
22.
23.    ; Inicjalizacja indeksu dla tablicy wyjściowej
24.    mov r11, 0                             ; r11 = indeks aktualny dla output array
25.
26. loop_n:
27.    cmp r11, r9                            ; Porównanie bieżącego indeksu z outputLength
28.    jge end_loop_n                        ; Jeśli indeks >= outputLength, zakończ pętlę zewnętrzną
29.
30.    ; Inicjalizacja indeksu dla tablicy współczynników
31.    mov r12, 0                             ; r12 = indeks aktualny dla coefficients array
32.
33.    cmp r11, rax                          ; Sprawdzenie, czy r11 < coefficientsLength - 1
34.    jl skip_coef                          ; Jeśli tak, przejdź do pomijania obliczeń współczynników
35.
36.    ; Czyszczenie rejestrów YMM, aby przygotować je do akumulacji wyników
```

```

37.    vxorps ymm0, ymm0, ymm0    ; Zerowanie ymm0
38.    vxorps ymm4, ymm4, ymm4    ; Zerowanie ymm4
39.    vxorps ymm5, ymm5, ymm5    ; Zerowanie ymm5
40.    vxorps ymm6, ymm6, ymm6    ; Zerowanie ymm6
41.
42. loop_k:
43.    cmp r12, r10                ; Porównanie indeksu współczynników z coefficientsLength
44.    jge end_loop_k              ; Jeśli indeks >= coefficientsLength, zakończ pętlę wewnętrzną
45.
46.    mov r13, r11                ; Kopiowanie bieżącego indeksu wyjściowego do r13
47.    sub r13, r12                ; Obliczenie odpowiedniego indeksu wejściowego
48.    shl r13, 2                 ; Przemnożenie indeksu przez 4 (rozmiar float) dla obliczeń adresów
49.
50.    cmp r13, 0                  ; Sprawdzenie, czy obliczony indeks jest nieujemny
51.    jl end_loop_k              ; Jeśli indeks < 0, pomiń tę iterację
52.
53.    sub r13, 28                 ; Korekta indeksu wejściowego (offset)
54.
55.    ; Ładowanie danych wejściowych i współczynników do rejestrów YMM
56.    vmovups ymm5, YMMWORD PTR [rcx + r13] ; Ładowanie 8 floatów z input array
57.    vmovups ymm6, YMMWORD PTR [r8 + r12 * 4] ; Ładowanie 8 floatów z coefficients array
58.
59.    add r12, 8                  ; Zwiększenie indeksu współczynników o 8 (przetwarzanie wektorowe)
60.    jmp multiply_and_add        ; Przejdź do etapu mnożenia i akumulacji
61.
62. multiply_and_add:
63.    ; Wykonanie operacji mnożenia i dodania dla wektorów
64.    vfmadd231ps ymm4, ymm5, ymm6 ; ymm4 += ymm5 * ymm6
65.    jmp loop_k                 ; Kontynuacja pętli wewnętrznej
66.
67. end_loop_k:
68.    ; Redukcja YMM4 do pojedynczej wartości float
69.    vxorps xmm0, xmm0, xmm0    ; Zerowanie rejestru xmm0
70.    vextractf128 xmm0, ymm4, 1 ; Wyodrębnienie górnej części YMM4 do xmm0
71.    vaddps xmm4, xmm4, xmm0    ; Dodanie górnej części do dolnej
72.    vhaddps xmm4, xmm4, xmm4    ; Suma horyzontalna 8 floatów do 4
73.    vhaddps xmm4, xmm4, xmm4    ; Suma horyzontalna 4 floatów do 2
74.    vmovss DWORD PTR [rdx + r11 * 4], xmm4 ; Przechowanie wyniku jako pojedynczego float w output array
75.
76.    ; Inkrementacja indeksu wyjściowego i kontynuacja pętli zewnętrznej
77.    inc r11
78.    jmp loop_n
79.
80. skip_coef:
81.    ; Jeżeli bieżący indeks wyjściowy < coefficientsLength - 1, pomiń obliczenia współczynników
82.    inc r11                    ; Inkrementacja indeksu wyjściowego
83.    jmp loop_n                 ; Kontynuacja pętli zewnętrznej
84.
85. end_loop_n:
86.    ; Zakończenie procedury FIR filter
87.    mov rsp, rbp               ; Przywrócenie wskaźnika stosu
88.    pop rbp                    ; Przywrócenie bazowego wskaźnika stosu
89.    ret                        ; Powrót z procedury
90.
91. ProcessFIRFilter endp
92.
93. END
94.

```

### 3.4. Istotne instrukcje:

- Wczytywanie wektorowe (8 wartości na raz) do rejestrów. Wczytywane są zarówno współczynniki jak i próbki wejściowe.

```

vmovups ymm5, YMMWORD PTR [rcx + r13] ; Ładowanie 8 floatów z input array
vmovups ymm6, YMMWORD PTR [r8 + r12 * 4] ; Ładowanie 8 floatów z coefficients array

```

- Instrukcja mnożąca zawartość rejestru ze współczynnikami oraz rejestru z próbkami wejściowymi. Wynik operacji jest zapisywany do rejestru zawierającego skumulowane wyniki.

*; Wykonanie operacji mnożenia i dodania dla wektorów*  
*vfmadd231ps ymm4, ymm5, ymm6 ; ymm4 += ymm5 \* ymm6*

- Dodawanie horyzontalne rejestru ze skumulowanymi wynikami. Celem jest uzyskanie jednej wartości zmiennoprzecinkowej jako wyniku aktualnej próbki wyjściowej.

*; Redukcja YMM4 do pojedynczej wartości float*  
*vxorps xmm0, xmm0, xmm0 ; Zerowanie rejestru xmm0*  
*vextractf128 xmm0, ymm4, 1 ; Wyodrębnienie górnej części YMM4 do xmm0*  
*vaddps xmm4, xmm4, xmm0 ; Dodanie górnej części do dolnej*  
*vhaddps xmm4, xmm4, xmm4 ; Suma horyzontalna 8 floatów do 4*  
*vhaddps xmm4, xmm4, xmm4 ; Suma horyzontalna 4 floatów do 2*

- Zapis zsumowanej wartości do próbki wyjściowej

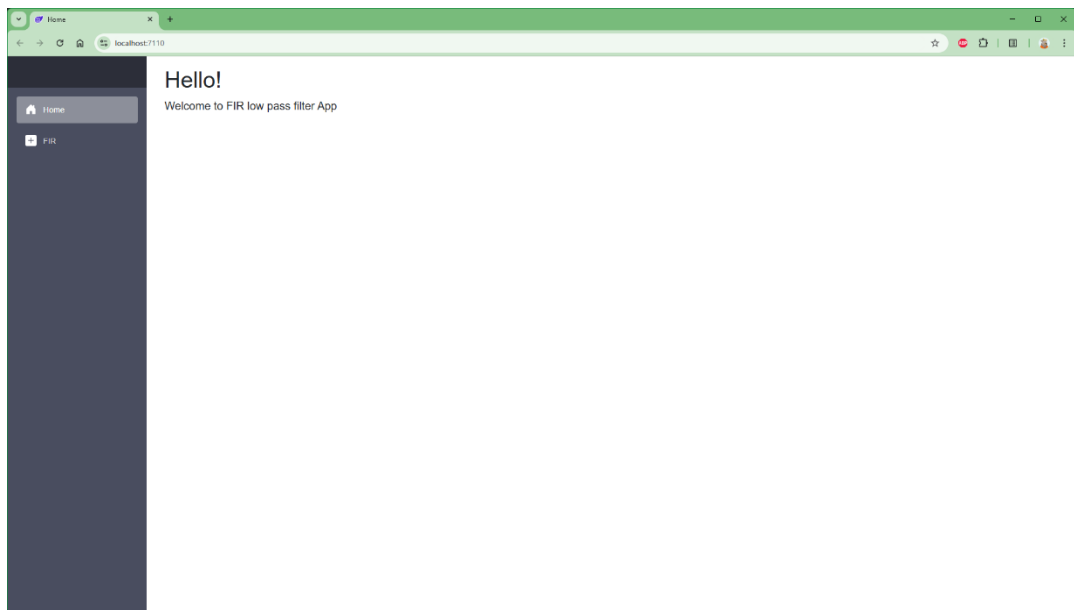
*vmovss DWORD PTR [rdi + r11 \* 4], xmm4 ; Przechowanie wyniku jako pojedynczego float w output array*

### 3.5. Odpowiadający kod biblioteki w C++:

```
1. extern "C" __declspec(dllexport) void ProcessFIRFilter(float* input, float* output, float*
coefficients, int inputLength, int coefficientsLength) {
2.     for (int n = 0; n < inputLength; ++n) {
3.         if (n < coefficientsLength - 1) {
4.             output[n] = 0;
5.             continue;
6.         }
7.
8.         for (int k = 0; k < coefficientsLength; ++k) {
9.             if (n - k >= 0) {
10.                 output[n] += coefficients[coefficientsLength - 1 - k] * input[n - k];
11.             }
12.             else {
13.                 break;
14.             }
15.         }
16.     }
17. }
18.
```

## 4. Interfejs użytkownika

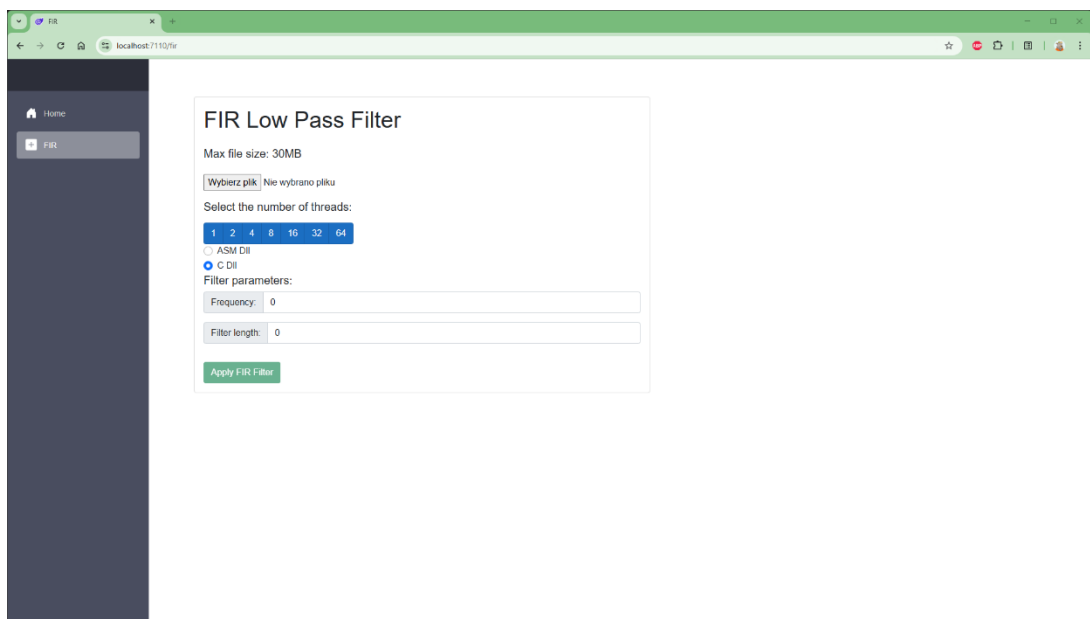
- 4.1. Aplikacja została wykonana w technologii ASP.NET Core, co oznacza, że jest to aplikacja webowa.



*Zrzut ekranu 1: Ekran startowy aplikacji*

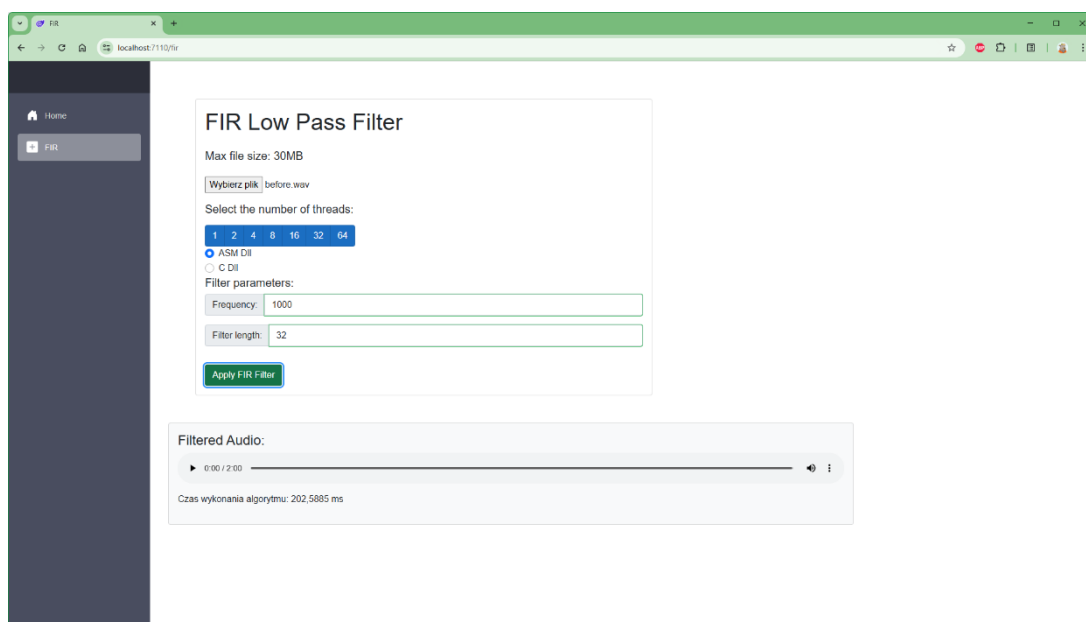
4.2. Interfejs posiada stronę umożliwiającą użytkownikowi:

- Wybranie pliku dźwiękowego.
- Podanie częstotliwości odcięcia oraz ilości współczynników filtra.
- Wybranie ilości wątków oraz docelowej biblioteki DLL.



*Zrzut ekranu 2: Interfejs użytkownika aplikacji*

- 4.3. Po wykonaniu algorytmu na stronie umieszczony zostanie plik dźwiękowy z możliwością odtworzenia, oraz czas wykonania funkcji bibliotecznej.



*Zrzut ekranu 3: Wynik działania aplikacji*

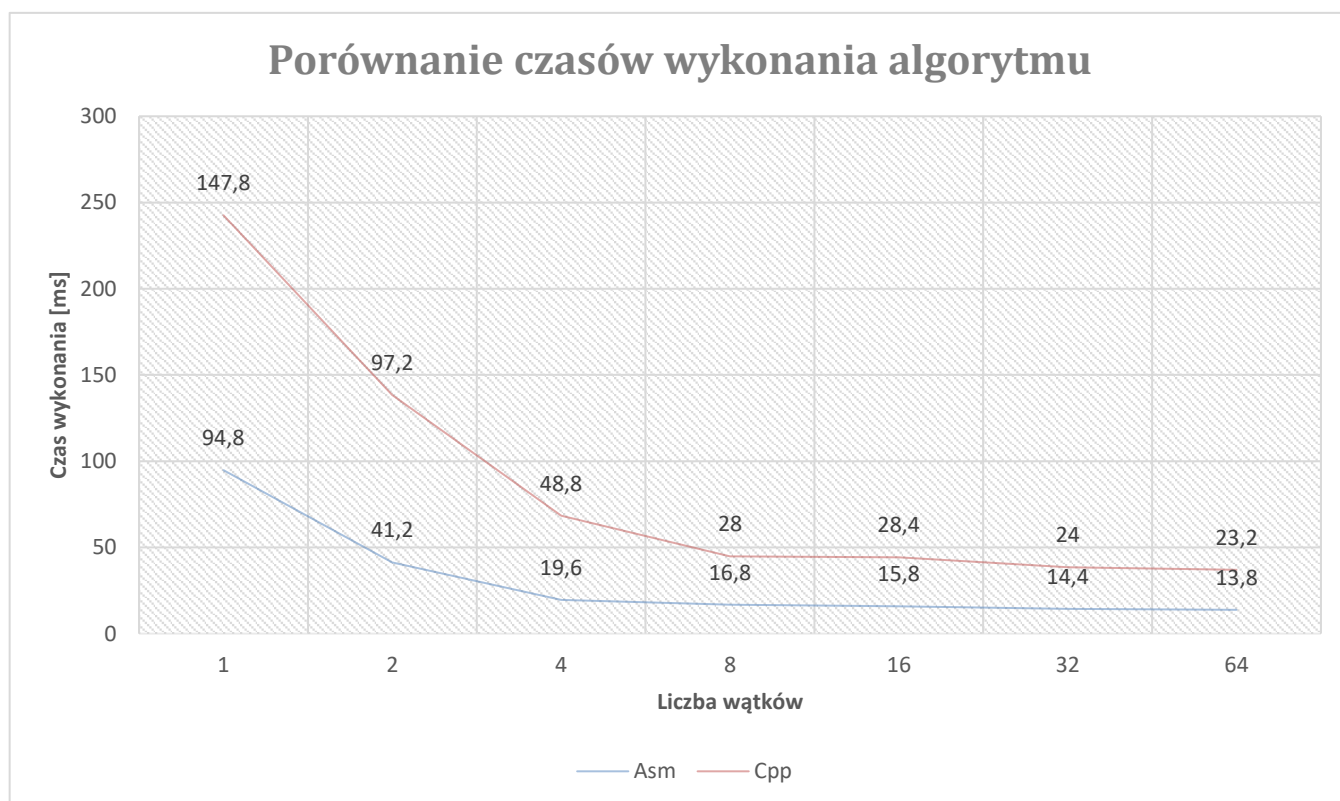
## 5. Wyniki czasowe

5.1. Dla każdej liczby wątków wykonano 5 pomiarów (nie wliczając pierwszego). Powtórzono to zarówno dla wykonania w C++ jak i w asemblerze. Każdy wynik czasowy to średnia wyciągnięta z 5 pomiarów.

### 5.2. Warunki

- C++ 20
- Włączony tryb Release z optymalizacją
- Wejściowy plik wav o rozmiarze 20MB
- Ilość współczynników – 16
- Częstotliwość odcięcia – 1000Hz (nie wpływa na wynik czasowy)

5.3. Dla wykonanych pomiarów uzyskano wyniki czasowe zaprezentowane na wykresie:



Wykres 1: Porównanie czasów wykonania algorytmu

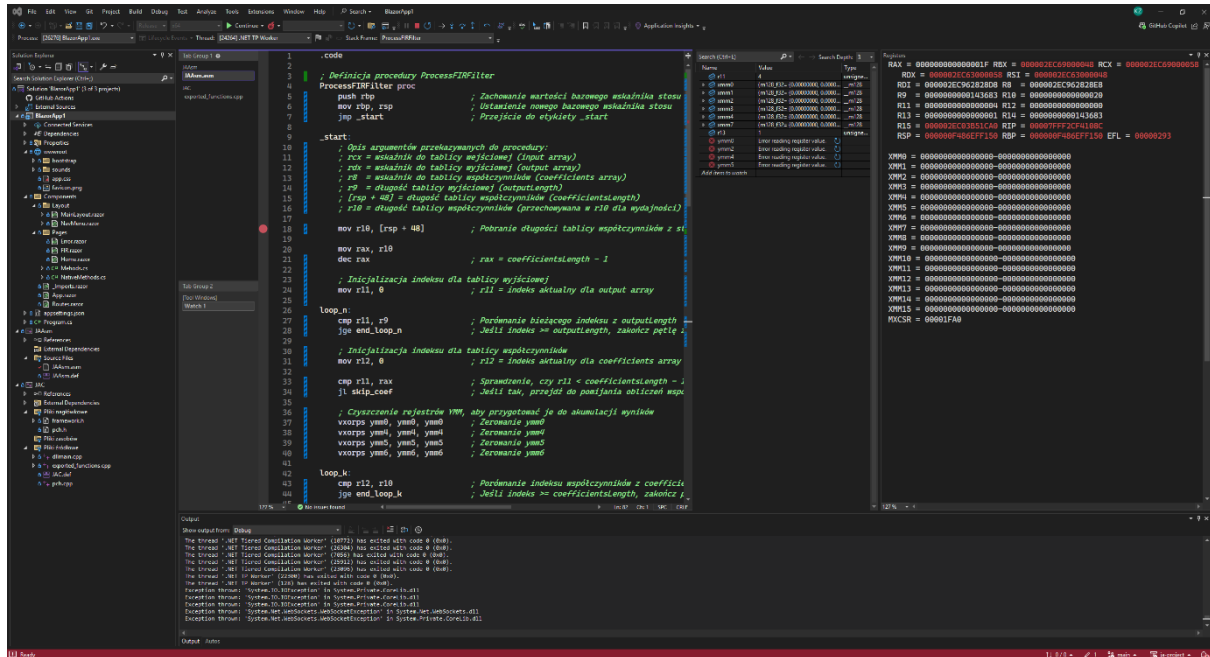
5.4. Na powyższym wykresie zaobserwowano średnio dwukrotne przyspieszenie. Jest to jednak wynik uzyskany dla tych konkretnych warunków testowania. W przypadku większego pliku wejściowego, lub większej liczby współczynników dane mogą się różnić, a różnica między C++, a asemblerem może być bardziej zauważalna.



## 6. Opis testowania

6.1. Testowanie zostało przeprowadzone dla aplikacji skompilowanej w trybie Release dla architektury X64.

6.2. W trakcie tworzenia aplikacji możliwe było debugowanie kodu assemblerowego oraz wgląd do aktualnych rejestrów procesora. Możliwość debugowania była kluczowa dla dokładnego zrozumienia instrukcji działających na rejestrach AVX.



Zrzut ekranu 4: Debugowanie kodu assemblerowego

## 7. Wnioski

Analizując wyniki czasowe na wykresie, można dostrzec wyraźną różnicę czasową między kodem napisanym w C++, a tym w assemblerze. Wykonanie projektu pozwoliło zrozumieć, że mając większą kontrolę nad kodem jesteśmy w stanie wykonywać obliczenia na wielu próbkach na raz. Równoległość poziomu danych była tutaj kluczowa i niemożliwa do uzyskania w języku wysokiego poziomu. Projekt nauczył również wykorzystywania biblioteki dołączanej dynamicznie w celu zaimplementowania małego kawałka kodu, tudzież prostego algorytmu. Dzięki połączeniu tych dwóch rozwiązań, oraz wielowątkowości jesteśmy w stanie uzyskać zoptymalizować kod i uzyskać znacznie lepsze wyniki czasowe.